

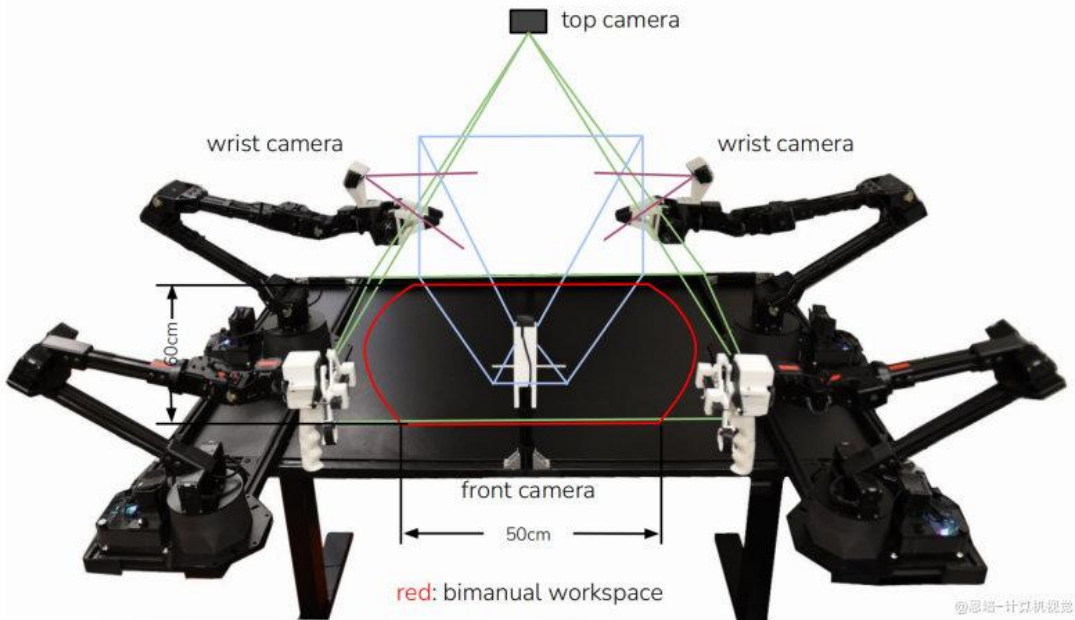
一、ACT 简介

下面的原理介绍，基于 **ACT** 论文，知识点较多，如果有谬误，欢迎反馈

- 论文地址：<https://arxiv.org/pdf/2304.13705>
- 项目官网：<https://tonyzhaozh.github.io/aloha/>

1.1.1 ALOHA 硬件系统

- 低成本双臂遥操作平台：整套系统成本不到 2 万美元，使用现成机器人和 3D 打印组件构建
- 设计原则：低成本、多功能、用户友好、易维修、易组装
- 技术特点：
 - 使用关节空间映射进行遥操作（操作员通过反驱动较小的“领导”机器人来控制较大的“跟随”机器人）
 - 配备 4 个摄像头提供多视角观察
 - 50Hz 高频控制，支持精确操作



Aloha 实物图

(演示视频)

1.1.2 ACT 学习算法

Action Chunking with Transformers，是一种新的模仿学习算法：

核心创新：

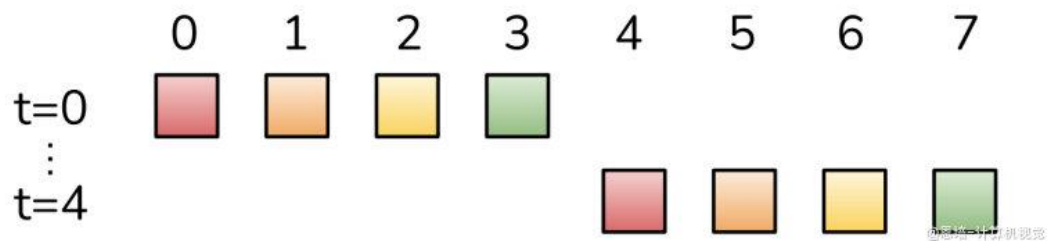
- 动作分块：预测未来 k 个时间步的动作序列，而非单步动作，有效减少复合误差
- 时序集成：通过重叠动作块的加权平均实现平滑执行
- 条件变分自编码器(**CVAE**)：处理人类演示数据的随机性和多模态性
- **Transformer** 架构：用于序列建模和多模态信息融合

实验成果

- 任务能力：能执行开调料杯盖、插电池、穿束带等 6 种精细操作任务
- 性能表现：80-90% 成功率，仅需约 10 分钟演示数据（50 个轨迹）
- 显著优势：相比现有方法（BeT、RT-1、VINN 等）有大幅性能提升
(演示视频)

二、核心创新：动作分块 (Action Chunking)

Action Chunking



2.1 基本概念：什么是 Action Chunking？

- 传统方法：每个时间步预测一个动作 $\pi_\theta(a_t|s_t)$
 - $\pi_\theta(a_t|s_t)$ = 给定当前状态 s_t ，预测下一个动作 a_t
 - 状态 s_t 比如：机械臂当前各关节角度、摄像头拍摄的画面
 - 动作 a_t 比如：机械臂各关节目标角度
- **Action Chunking**：每 k 个时间步预测 k 个连续动作 $\pi_\theta(a_{t:t+k}|s_t)$
 - $\pi_\theta(a_{t:t+k}|s_t)$ = 给定当前状态 s_t ，预测接下来 k 步的动作序列
 - 核心思想：将动作序列“打包”成块 (chunk)，作为一个整体单元执行

- 举例说明:
 - 任务场景: 抓取桌上的苹果
 - 机械臂状态
 - 6 个关节
 - 1 个夹爪: 开合程度 (0=完全闭合, 1=完全张开)
 - 动作维度: 每个 $a_t = [\theta_1, \theta_2, \theta_3, \theta_4, \theta_5, \theta_6, gripper]$ (7 维向量)

- 传统方法:

```

1 t=1: 观察→苹果在右前方
2   预测→ a_1 = [10°, 5°, 0°, 0°, 0°, 0°, 0.8] (向右转, 夹爪张开)
3
4 t=2: 观察→机械臂开始转动
5   预测→ a_2 = [8°, 10°, 5°, 0°, 0°, 0°, 0.8] (继续调整)
6
7 t=3: 观察→接近苹果
8   预测→ a_3 = [2°, 15°, 10°, 5°, 0°, 0°, 0.8] (伸向苹果)
9
10 ... (每步都要重新观察和决策)

```

- Action Chunking (假设 k=10)

```

1 t=1: 观察→苹果在右前方
2   一次性预测→
3     a_1:11 = [
4       [10°, 5°, 0°, 0°, 0°, 0°, 0.8],    # 第1步: 向右转
5       [8°, 10°, 5°, 0°, 0°, 0°, 0.8],    # 第2步: 调整角度
6       [5°, 15°, 10°, 5°, 0°, 0°, 0.8],    # 第3步: 伸向苹果
7       [2°, 18°, 15°, 8°, 2°, 0°, 0.8],    # 第4步: 继续接近
8       [0°, 20°, 18°, 10°, 5°, 2°, 0.8],    # 第5步: 精确定位
9       [0°, 20°, 18°, 10°, 5°, 2°, 0.6],    # 第6步: 准备抓取
10      [0°, 20°, 18°, 10°, 5°, 2°, 0.4],   # 第7步: 夹爪收缩
11      [0°, 20°, 18°, 10°, 5°, 2°, 0.2],   # 第8步: 继续收缩
12      [0°, 20°, 18°, 10°, 5°, 2°, 0.0],   # 第9步: 夹紧
13      [0°, 15°, 12°, 5°, 2°, 0°, 0.0]    # 第10步: 轻微提起
14   ]
15
16 连续执行这10步, 然后在t=11时重新观察环境

```

- 效果

方面	传统方法	Action Chunking (k=10)
观察频率	每步观察	每 10 步观察
预测内容	(1,7)	(10,7)
决策次数	10 次	1 次
误差累积	高 (10 次机会出错)	低 (1 次机会出错)

2.2 解决的核心问题

复合误差问题 (Compounding Error)

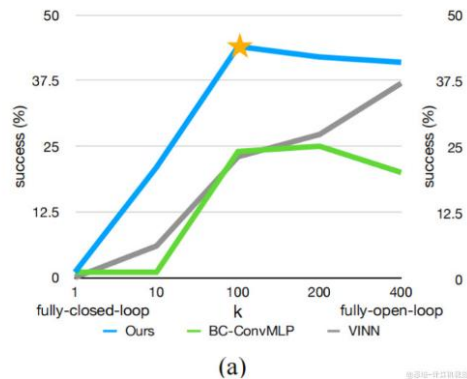
```
1  时间步1: 小误差  $\varepsilon_1$ 
2  时间步2: 误差  $\varepsilon_1 + \varepsilon_2$ 
3  时间步3: 误差  $\varepsilon_1 + \varepsilon_2 + \varepsilon_3$ 
4  ...
5  最终误差:  $\sum \varepsilon_i \rightarrow$  任务失败
```

Action Chunking 如何缓解?

- 有效视野缩减: $k=100$ 时, 400 步任务变成 4 步决策
- 误差累积减少: 从 400 次累积变成 4 次累积
- 决策点减少: 减少了 96% 的关键决策点

2.3 Chunk Size (k) 的影响

实验结果分析 (在作者自己的实验上测量)



(a)

Chunk Size (k)	成功率表现	特点
k=1	1%	传统单步预测, 复合误差严重
k=10	12%	轻微改善
k=50	35%	显著提升
k=100	44%	最佳性能
k=200	40%	性能轻微下降
k=400	24%	过度开环, 缺乏反应性

选择原则

- 太小 ($k < 50$): 复合误差仍然明显
- 适中 ($k=100$): 平衡了误差缓解和反应性
- 太大 ($k > 200$): 接近开环控制, 失去闭环反馈能力

2.4 与传统方法对比

单步预测的局限

```
1 # 传统BC方法的问题
2 t=1: predict(obs1) → action1 (小误差)
3 t=2: predict(obs2) → action2 (obs2已经偏离训练分布)
4 t=3: predict(obs3) → action3 (误差进一步累积)
5 ...
6 结果: 机器人“迷失”在未见过的状态空间
```

Action Chunking 的优势

```
1 # ACT方法
2 t=1: predict(obs1) → [action1, action2, ..., action100]
3 # 执行100步后重新观测
4 t=101: predict(obs101) → [action101, action102, ..., action200]
5 # 大幅减少累积误差的机会
```

2.5 处理非马尔可夫行为

人类演示中的问题

- 暂停行为: 人类在演示中会暂停思考
- 时序相关干扰: 行为不仅依赖状态, 还依赖时间步
- 单步策略难以建模: $\pi(a_t|s_t)$ 无法捕捉这种时序依赖

Action Chunking 的解决方案

- 时序上下文: k 步序列包含了时序信息
- 行为连贯性: 一个 chunk 内的动作保持连贯
- 减少暂停影响: 暂停行为被“稀释”在 chunk 中

三、时序集成(Temporal Ensembling)

3.1 为什么需要?

3.1.1 Action Chunking 的朴素实现问题

- 离散执行策略

```
1 # 朴素的Action Chunking实现
2 def naive_chunking():
3     for t in range(0, episode_length, k): # 每k步执行一次
4         obs = get_observation(t)          # 获取观测
5         action_chunk = policy(obs)        # 预测k步动作
6         for i in range(k):
7             execute(action_chunk[i])      # 逐步执行
8         # 问题: 下一个chunk与当前chunk完全断开!
```

- 核心问题分析
 - 突然的信息更新：每 k 步才融入新的环境观测
 - 动作不连续：相邻 chunk 之间可能存在跳跃
 - 响应延迟：环境变化后需要等待 k 步才能响应

3.1.2 实际任务中的问题表现

- 开调料杯任务示例

```

1 时刻0-99: 基于初始观测的动作序列
2 时刻100: 突然基于新观测重新规划
3 结果: 机器人动作出现“跳跃”，杯子可能掉落

```

- 插电池任务示例

```

1 Chunk 1: [抓取电池] - 基于t=0时的观测
2 Chunk 2: [插入电池] - 基于t=100时的观测
3 问题: 如果电池在执行过程中位置发生微调,
4 新chunk可能基于过时信息规划动作

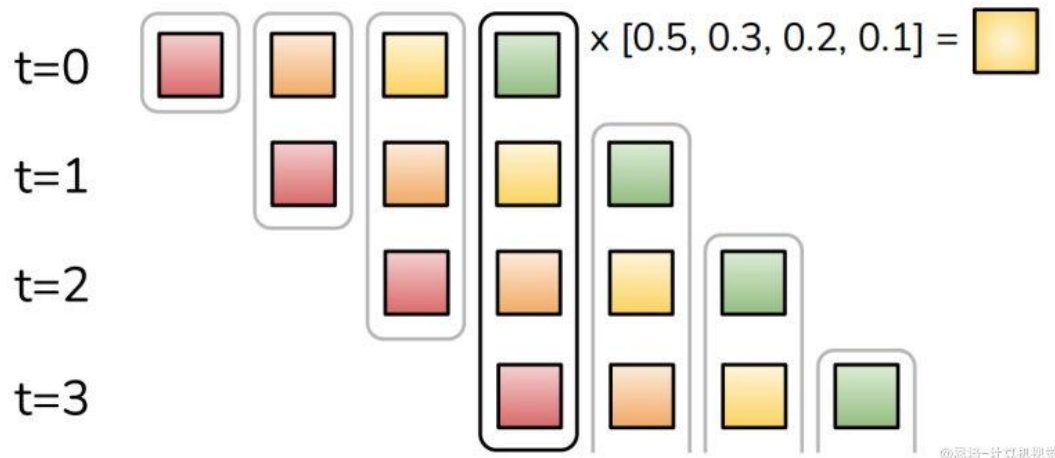
```

3.1.3 对精细操作的影响

- 精度要求高：毫米级误差导致任务失败
- 实时反馈需要：需要持续根据视觉反馈调整
- 平滑性要求：突然的动作变化会产生冲击力

3.2 如何实现？

Action Chunking + Temporal Ensemble



3.2.1 核心思想：重叠预测

从离散切换到连续融合

```

1 # 原始方法: 离散切换
2 t=0: 预测 [a_0, a_1, a_2, ..., a_99]
3 t=100: 预测 [a_100, a_101, a_102, ..., a_199]
4
5 # Temporal Ensembling: 重叠预测
6 t=0: 预测 [a_0, a_1, a_2, ..., a_99]
7 t=1: 预测 [a_1, a_2, a_3, ..., a_100]
8 t=2: 预测 [a_2, a_3, a_4, ..., a_101]
9 ...

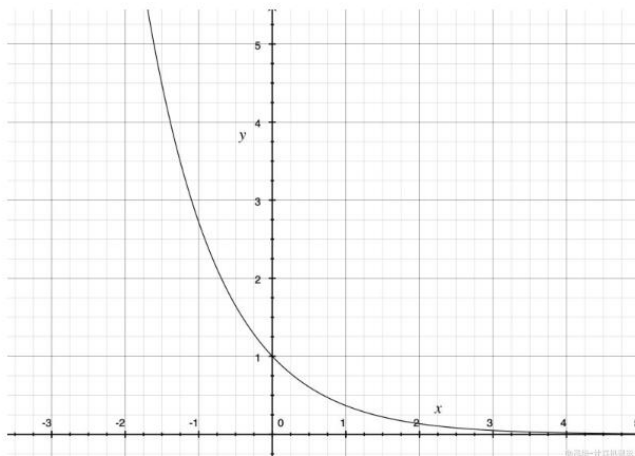
```

3.2.2 具体实现算法——加权平均

*ensemble to combine these predictions. Our temporal ensemble performs a weighted average over these predictions with an exponential weighting scheme $w_i = \exp(-m * i)$, where w_0 is the weight for the oldest action. The speed for incorporating new observation is governed by m , where a smaller m means faster incorporation. We note that unlike typical smoothing,*

我们的时间集成使用指数加权方案对这些预测执行加权平均: $w_i = e^{(-m*i)}$, 其中 w_0 是第一个动作的权重。

论文中权重计算公式:



$$w_i = e^{(-m \times i)}$$

- w_i : 第*i*个预测的权重值*w*
- $e \approx 2.718$
- m : 衰减速率参数
- i : 预测的"时间点" (0=最新, 1=1 步前, 2=2 步前...)

权重的含义:

- 最新预测 ($i=0$) : 权重最大, 影响最大
- 较旧预测 ($i=1,2,3...$) : 权重递减, 影响逐渐减小
- 很旧预测: 权重接近 0, 几乎不影响最终结果

实际原作代码中的具体实现如下

```
1 # 模型根据当前观测，推理得到一批actions
2 all_actions = policy(qpos, curr_image)
3
4 # 将当前时间步的动作预测存储到all_time_actions张量中
5 all_time_actions[[t], t:t+num_queries] = all_actions
6
7 # 获取当前时间步t的所有动作预测
8 actions_for_curr_step = all_time_actions[:, t]
9
10 # 筛选出有效的动作预测（非零值）
11 actions_populated = torch.all(actions_for_curr_step != 0, axis=1)
12 actions_for_curr_step = actions_for_curr_step[actions_populated]
13
14 # 设置指数衰减的系数k
15 k = 0.01
16
17 # 计算指数衰减权重：较早的预测权重较小，较新的预测权重较大
18 exp_weights = np.exp(-k * np.arange(len(actions_for_curr_step)))
19
20 # 归一化权重，使所有权重之和为1
21 exp_weights = exp_weights / exp_weights.sum()
22
23 # 将numpy数组转换为cuda张量并增加维度
24 exp_weights = torch.from_numpy(exp_weights).cuda().unsqueeze(dim=1)
25
26 # 计算加权平均的最终动作
27 raw_action = (actions_for_curr_step * exp_weights).sum(dim=0, keepdim=True)
```

这个算法的核心思想是：

1. 收集不同时间步对当前时间步 t 的动作预测
2. 使用指数衰减函数给这些预测分配权重，使得较新的预测有更高的权重
3. 归一化这些权重（确保它们的总和为 1）
4. 计算加权平均得到最终的动作

用数学公式表示为：

$$\begin{aligned} a_t &= \sum_{i=1}^n w_i \cdot p_i \\ &= w_1 \cdot p_1 + w_2 \cdot p_2 + w_3 \cdot p_3 + \dots + w_n \cdot p_n \end{aligned}$$

其中：

- a_t 是时间步 t 的最终动作
- p_i 是第 i 个动作预测
- $w_i = \frac{e^{-k(i-1)}}{\sum_{j=1}^n e^{-k(j-1)}}$ 是归一化的权重

`np.arange(len(actions_for_curr_step))` 生成的是从 0 开始的序列 $[0, 1, 2, \dots, n - 1]$ ，所以这里是 $j - 1$

- $k = 0.01$ 是衰减系数

这种方法通过综合考虑多个时间步的预测，提高了动作预测的稳定性和准确性。

四、网络架构

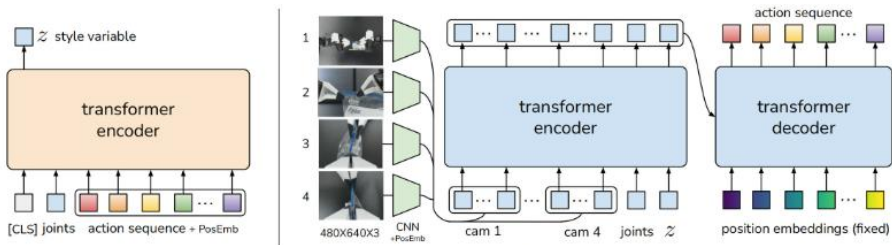


Fig. 4: Architecture of Action Chunking with Transformers (ACT). We train ACT as a Conditional VAE (CVAE), which has an encoder and a decoder. Left: The encoder of the CVAE compresses action sequence and joint observation into z , the style variable. The encoder is discarded at test time. Right: The decoder or policy of ACT synthesizes images from multiple viewpoints, joint positions, and z with a transformer encoder, and predicts a sequence of actions with a transformer decoder. z is simply set to the mean of the prior (i.e. zero) at test time.

基于 Transformer 的动作分块(ACT)架构，将 ACT 训练为条件变分自编码器(CVAE)，它包含一个编码器和一个解码器。

左侧：CVAE 的编码器将动作序列和关节观测压缩为风格变量 z 。编码器在测试时被丢弃。

右侧：ACT 的解码器或策略使用 Transformer 编码器融合来自多个视角的图像、关节位置和 z ，并通过 Transformer 解码器预测动作序列。在测试时， z 简单地设置为先验分布的均值(即零)。

4.1 整体架构概览

ACT 采用条件变分自编码器(Conditional VAE)架构：

- **编码器(Encoder):** 仅在训练时使用，用于推断风格变量 z
- **解码器(Decoder):** 实际的策略网络，用于预测动作序列

设计理念

- **编码器:** 学习如何从人类演示中提取"风格信息"
- **解码器:** 学习如何根据观测和风格生成动作序列
- **测试时:** 丢弃编码器，解码器独立工作

4.2 网络架构详细设计

4.2.1 CVAE 编码器架构

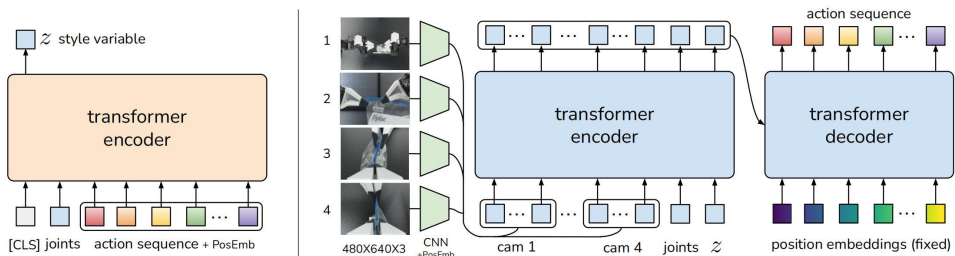


Fig. 4: Architecture of Action Chunking with Transformers (ACT). We train ACT as a Conditional VAE (CVAE), which has an encoder and a decoder. Left: The encoder of the CVAE compresses action sequence and joint observation into z , the style variable. The encoder is discarded at test time. Right: The decoder or policy of ACT synthesizes images from multiple viewpoints, joint positions, and z with a transformer encoder, and predicts a sequence of actions with a transformer decoder. z is simply set to the mean of the prior (i.e. zero) at test time.

4.2.1.1 输入组成

编码器接收三个输入：

- **[CLS] token:** 可学习的特殊标记（类似 BERT）
- **当前关节位置:** 14 维向量（双臂各 7 个关节）
- **目标动作序列:** $k \times 14$ 维张量（ k 步的关节位置目标）

4.2.1.2 处理组成

1. 嵌入投影:

- 关节位置通过线性层投影到 512 维
- 动作序列通过另一线性层投影到 512 维
- [CLS] token 是直接学习的 512 维向量

2. 序列构建:

- 形成长度为 $(k+2)$ 的输入序列
- 每个元素都是 512 维向量

3. Transformer 编码:

- 使用 4 层 Transformer 编码器
- 自注意力机制融合所有信息

4. 风格变量推断:

- 取[CLS] token 对应的输出特征
- 通过线性层预测 z 的均值和方差
- z 是 32 维的对角高斯分布

4.2.2 CVAE 解码器架构（策略网络）

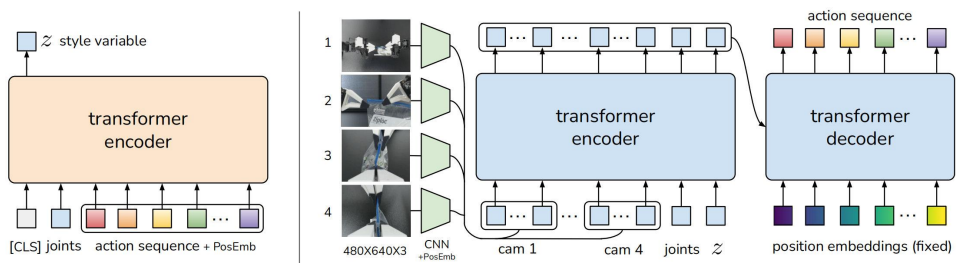


Fig. 4: Architecture of Action Chunking with Transformers (ACT). We train ACT as a Conditional VAE (CVAE), which has an encoder and decoder. Left: The encoder of the CVAE compresses action sequence and joint observation into z , the style variable. The encoder is discarded at test time. Right: The decoder or policy of ACT synthesizes images from multiple viewpoints, joint positions, and z with a transformer encoder, and predicts a sequence of actions with a transformer decoder. z is simply set to the mean of the prior (i.e. zero) at test time.

4.2.2.1 输入处理

解码器处理多模态输入：

图像处理流程:

1. **ResNet18** 骨干网络:

- 4 个 $480 \times 640 \times 3$ 的 RGB 图像
- 每个图像 $\rightarrow 15 \times 20 \times 512$ 特征图
- 展平为 300×512 的特征序列

2. 空间位置编码:

- 添加 2D 正弦位置编码
- 保持空间结构信息

3. 多视角融合:

- 4 个摄像头的特征序列拼接
- 总计 1200×512 的图像特征序列

其他输入处理:

- 当前关节位置: 线性投影到 512 维
- 风格变量 \mathbf{z} : 线性投影到 512 维

4.2.2.2 Transformer 架构

1. 编码器部分:

- 4 层 Transformer 编码器
- 输入: 1202×512 (图像 $1200 +$ 关节 1 + 风格 1)
- 功能: 多模态信息融合

2. 解码器部分:

- 7 层 Transformer 解码器
- Query: 固定的正弦位置编码 ($k \times 512$)
- Key/Value: 来自编码器输出
- 交叉注意力机制生成动作序列

4.2.2.3 输出生成

- 解码器输出: $k \times 512$ 维特征
- 动作预测: 通过 MLP 投影到 $k \times 14$ 维
- 最终输出: k 步的关节位置目标

4.3 训练流程 (Training Pipeline)

4.3.1 整体流程概览

Step 1: 数据采样 (Sample Data)

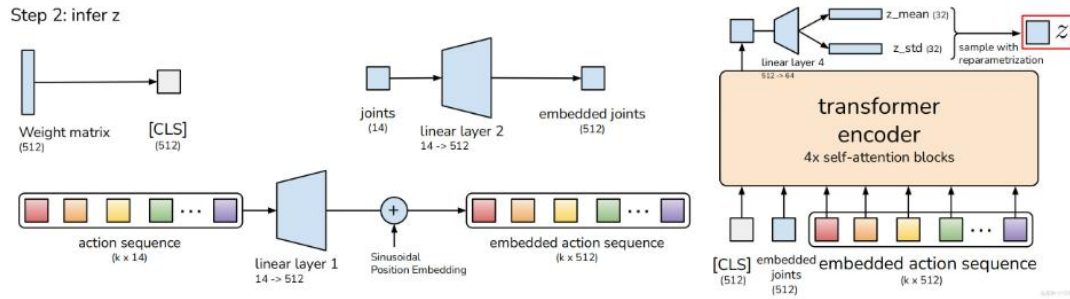
Step 1: sample data



从演示数据集中采样训练批次:

- 输入观测: 4 个 RGB 图像 ($4 \times 480 \times 640 \times 3$) + 关节位置 (14 维)
- 目标动作序列: $k \times 14$ 维的关节位置序列
- 批次组织: 按 batch size 组织数据

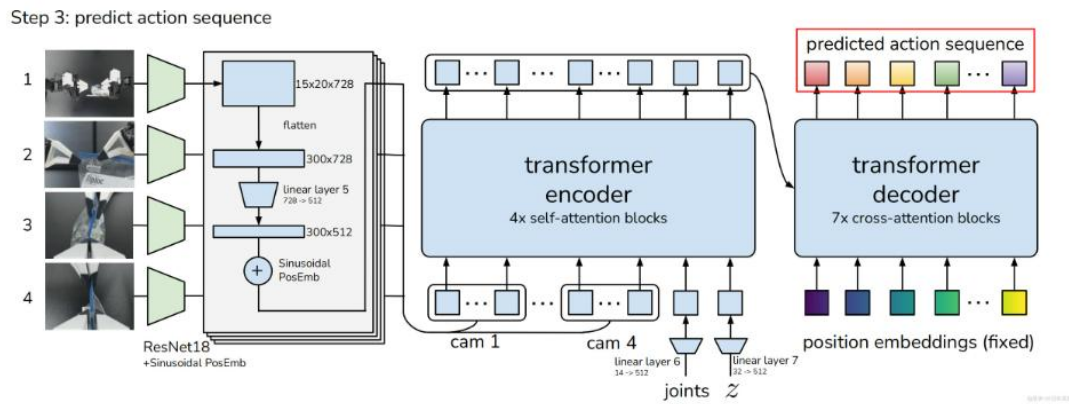
Step 2: 风格变量推断 (Infer z)



通过 CVAE 编码器推断风格变量:

- 编码器输入:
 - [CLS] token (512 维)
 - 当前关节位置 ($14 \rightarrow 512$ 维投影)
 - 动作序列 ($k \times 14 \rightarrow k \times 512$ 维投影)
- Transformer 编码: 4 层自注意力块处理
- 输出分布: z 的均值和标准差 (各 32 维)
- 采样: 使用重参数化技巧采样 z

Step 3: 动作序列预测 (Predict Action Sequence)



通过 CVAE 解码器生成动作预测:

- 图像处理:
 - 4 个摄像头图像通过 ResNet18
 - 输出 $4 \times 300 \times 512$ 的特征序列
 - 添加正弦位置编码
- 多模态融合:
 - Transformer 编码器融合图像、关节、风格信息
 - 输入序列长度: 1202 (图像 1200 + 关节 1 + 风格 1)
- 序列生成:
 - Transformer 解码器通过交叉注意力生成
 - 固定位置编码作为查询 ($k \times 512$)
 - 输出预测动作序列 ($k \times 14$)

4.3.2 详细算法流程

Algorithm 1 ACT Training

- 1: Given: Demo dataset \mathcal{D} , chunk size k , weight β .
 - 2: Let a_t, o_t represent action and observation at timestep t , \bar{o}_t represent o_t without image observations.
 - 3: Initialize encoder $q_\phi(z|a_{t:t+k}, \bar{o}_t)$
 - 4: Initialize decoder $\pi_\theta(\hat{a}_{t:t+k}|o_t, z)$
 - 5: **for** iteration $n = 1, 2, \dots$ **do**
 - 6: Sample $o_t, a_{t:t+k}$ from \mathcal{D}
 - 7: Sample z from $q_\phi(z|a_{t:t+k}, \bar{o}_t)$
 - 8: Predict $\hat{a}_{t:t+k}$ from $\pi_\theta(\hat{a}_{t:t+k}|o_t, z)$
 - 9: $\mathcal{L}_{reconst} = MSE(\hat{a}_{t:t+k}, a_{t:t+k})$
 - 10: $\mathcal{L}_{reg} = D_{KL}(q_\phi(z|a_{t:t+k}, \bar{o}_t) \parallel \mathcal{N}(0, I))$
 - 11: Update θ, ϕ with ADAM and $\mathcal{L} = \mathcal{L}_{reconst} + \beta \mathcal{L}_{reg}$
-

参数定义与初始化：

第 1 步：给定参数

- 演示数据集 \mathcal{D} : 包含人类演示的观测-动作对

观测 (Observation) o_t :

- 图像: 4 个摄像头的 RGB 图像
- 关节角度: 机械臂当前关节位置 (14 维)

动作对 (Action) $a_{t:t+k}$:

- Ground Truth: 未来 k 步的关节角度命令 (来自人类演示)

数据关系: 当前观测 \rightarrow 预测未来 k 步动作序列

- 块大小 k : 每次预测的动作序列长度
- 权重 β : 正则化项的平衡权重

第 2 步：符号定义

- a_t : 时刻 t 的动作
- o_t : 时刻 t 的完整观测 (包含图像 + 关节位置)
- \bar{o}_t : 时刻 t 的简化观测 (仅关节位置, 不含图像)

第 3 步：初始化编码器

- $q_\phi(z|a_{t:t+k}, \bar{o}_t)$: 编码器网络

编码器不使用图像的设计体现了 ACT 的核心思想:

- 风格与内容分离: 风格存在于动作模式中, 内容存在于环境状态中
- 效率优先: 避免不必要的计算复杂度
- 功能专业化: 每个组件专注于特定类型的信息处理
- 功能: 根据动作序列和简化观测推断风格变量 z 的分布
- 参数 ϕ : 编码器的可学习参数

第 4 步：初始化解码器

- $\pi_\theta(\hat{a}_{t:t+k}|o_t, z)$: 解码器网络（策略网络）
- 功能：根据完整观测和风格变量预测动作序列
- 参数 θ : 解码器的可学习参数

训练循环：

第 5 步：开始训练迭代

- $n = 1, 2, \dots$: 训练轮次计数

第 6 步：数据采样

- 从数据集 \mathcal{D} 中采样: $(o_t, a_{t:t+k})$
- o_t : 当前时刻的观测 (4 个 RGB 图像 + 14 维关节位置)
- $a_{t:t+k}$: 从时刻 t 开始的 k 步动作序列

第 7 步：风格变量采样

- 编码器推断: $z \sim q_\phi(z|a_{t:t+k}, \bar{o}_t)$
- 输入：真实动作序列 + 简化观测
- 输出：风格变量 z 的采样值
- 技术：使用重参数化技巧进行可微分采样

第 8 步：动作序列预测

- 解码器预测: $\hat{a}_{t:t+k} = \pi_\theta(\hat{a}_{t:t+k}|o_t, z)$
- 输入：完整观测 + 采样的风格变量
- 输出：预测的 k 步动作序列

第 9 步：计算重建损失

- $\mathcal{L}_{reconst} = MSE(\hat{a}_{t:t+k}, a_{t:t+k})$
- 功能：衡量预测动作与真实动作的差异
- 损失类型：均方误差（论文中实际使用 L1 损失）

第 10 步：计算正则化损失

- $\mathcal{L}_{reg} = D_{KL}(q_\phi(z|a_{t:t+k}, \bar{o}_t) \parallel \mathcal{N}(0, I))$
- 功能：KL 散度，使编码器输出的 z 分布接近标准正态分布
- $\mathcal{N}(0, I)$: 标准多元正态分布（均值 0，协方差矩阵为单位矩阵）

第 11 步：参数更新

- 优化器：ADAM
- 总损失: $\mathcal{L} = \mathcal{L}_{reconst} + \beta \mathcal{L}_{reg}$
- 更新参数: θ (解码器) 和 ϕ (编码器)
- β 作用：平衡重建精度和风格变量的正则化

4.3.3 训练流程总结

数据流向

1 演示数据 → 编码器推断风格 → 解码器预测动作 → 计算损失 → 更新参数

关键特点

1. 联合训练: 编码器和解码器同时训练
2. **CVAE 结构:** 条件变分自编码器框架
3. 重参数化: 保证采样过程可微分
4. 双重损失: 重建损失确保预测准确, 正则化损失防止过拟合

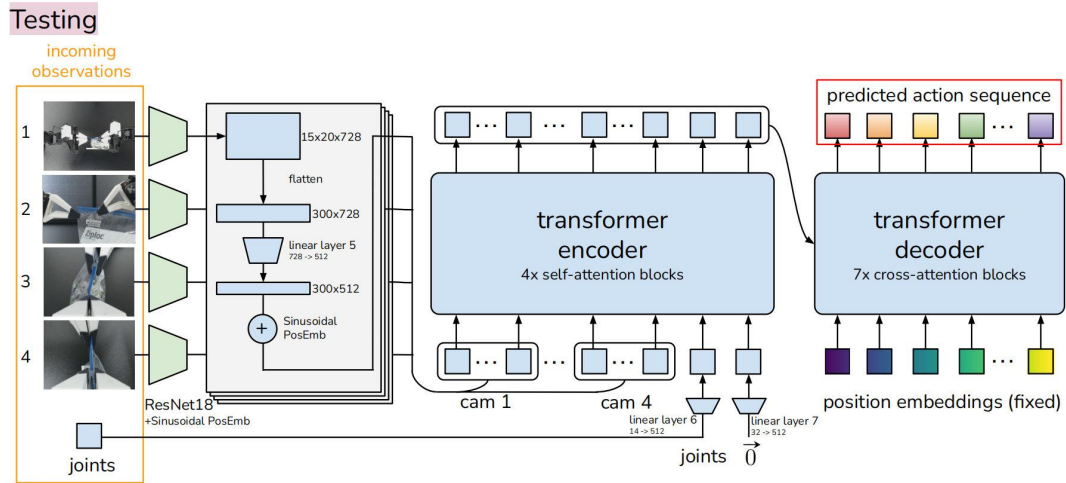
训练目标

- 编码器学习: 如何从演示中提取行为风格
- 解码器学习: 如何根据观测和风格生成合适的动作序列
- 整体目标: 学会在测试时仅用观测生成高质量的动作序列

数学表达式汇总

- 编码器分布: $q_\phi(z|a_{t:t+k}, \bar{o}_t)$
- 解码器策略: $\pi_\theta(\hat{a}_{t:t+k}|o_t, z)$
- 重建损失: $\mathcal{L}_{reconst} = MSE(\hat{a}_{t:t+k}, a_{t:t+k})$
- 正则化损失: $\mathcal{L}_{reg} = D_{KL}(q_\phi(z|a_{t:t+k}, \bar{o}_t) \parallel \mathcal{N}(0, I))$
- 总损失: $\mathcal{L} = \mathcal{L}_{reconst} + \beta \mathcal{L}_{reg}$

4.4 推理流程 (Inference Pipeline)



4.4.1 整体流程概览

网络简化

- 移除编码器: 测试时不需要风格推断
- 固定风格变量: $z=0$ (使用先验分布均值)
- 仅保留解码器: 作为确定性策略网络

推理步骤

- 输入观测：当前 4 个 RGB 图像 + 关节位置
- 特征提取：与训练时相同的图像和关节处理
- 序列生成：解码器直接输出 k 步动作预测
- 时序集成：对重叠预测进行加权平均

4.4.2 详细算法流程

Algorithm 2 ACT Inference

- 1: Given: trained π_θ , episode length T , weight m .
- 2: Initialize FIFO buffers $\mathcal{B}[0 : T]$, where $\mathcal{B}[t]$ stores actions predicted for timestep t .
- 3: **for** timestep $t = 1, 2, \dots, T$ **do**
- 4: Predict $\hat{a}_{t:t+k}$ with $\pi_\theta(\hat{a}_{t:t+k} | o_t, z)$ where $z = 0$
- 5: Add $\hat{a}_{t:t+k}$ to buffers $\mathcal{B}[t : t+k]$ respectively
- 6: Obtain current step actions $A_t = \mathcal{B}[t]$
- 7: Apply $a_t = \sum_i w_i A_t[i] / \sum_i w_i$, with $w_i = \exp(-m * i)$

◎ 第一章-计算思维基础

参数定义与初始化

第 1 步：给定参数

- 训练好的策略 π_θ : 已完成训练的解码器网络（编码器已移除）
- 任务时长 T : 完整任务执行的总时间步数
- 权重 m : 时序集成中的衰减参数，控制新旧预测的相对权重

第 2 步：初始化缓冲区系统

- **FIFO 缓冲区 $\mathcal{B}[0 : T]$** : 先进先出的环形缓冲区数组
- $\mathcal{B}[t]$: 存储所有“预测在时刻 t 执行的动作”
- 功能：管理重叠的动作预测，实现时序集成

推理循环

第 3 步：开始时序推理

- $t = 1, 2, \dots, T$: 按时间步顺序执行任务

第 4 步：策略预测

- $\hat{a}_{t:t+k} = \pi_\theta(\hat{a}_{t:t+k} | o_t, z)$ where $z = 0$
- 输入观测 o_t : 当前时刻的完整观测（4 个 RGB 图像 + 14 维关节位置）
- 固定风格变量: $z = 0$ (使用先验分布的均值，移除随机性)
- 输出: 从时刻 t 开始的 k 步动作序列预测

第 5 步：缓冲区更新

- 将 $\hat{a}_{t:t+k}$ 分别添加到缓冲区 $\mathcal{B}[t : t + k]$
- 分配预测：将 k 步预测分别添加到对应时刻的缓冲区
- $\mathcal{B}[t] \leftarrow \mathcal{B}[t] \cup \{\hat{a}_t\}, \mathcal{B}[t+1] \leftarrow \mathcal{B}[t+1] \cup \{\hat{a}_{t+1}\}, \dots, \mathcal{B}[t+k-1] \leftarrow \mathcal{B}[t+k-1] \cup \{\hat{a}_{t+k-1}\}$
- 重叠积累：多个预测可能对同一时刻产生不同的动作建议

第 6 步：获取当前时刻动作集合

- $A_t = \mathcal{B}[t]$
- 功能：提取所有针对当前时刻 t 的动作预测
- 内容：可能包含来自不同历史时刻预测的多个动作值

第 7 步：时序集成与执行

- $a_t = \frac{\sum_i w_i A_t[i]}{\sum_i w_i}$
- 权重计算： $w_i = \exp(-m \times i)$
- i 含义：预测的“年龄”（0 表示当前预测，1 表示 1 步前的预测，依此类推）
- 加权平均：越新的预测权重越高，越旧的预测权重越低
- 最终执行： a_t 作为当前时刻的实际执行动作

原著代码实现：

```
1 if config['policy_class'] == "ACT":  
2     if t % query_frequency == 0:  
3         all_actions = policy(qpos, curr_image)  
4         if temporal_agg:  
5             all_time_actions[[t], t:t+num_queries] = all_actions  
6             actions_for_curr_step = all_time_actions[:, t]  
7             actions_populated = torch.all(actions_for_curr_step != 0, axis=1)  
8             actions_for_curr_step = actions_for_curr_step[actions_populated]  
9             k = 0.01  
10            exp_weights = np.exp(-k * np.arange(len(actions_for_curr_step)))  
11            exp_weights = exp_weights / exp_weights.sum()  
12            exp_weights = torch.from_numpy(exp_weights).cuda().unsqueeze(dim=1)  
13            raw_action = (actions_for_curr_step * exp_weights).sum(dim=0, keepdim=True)  
14        else:  
15            raw_action = all_actions[:, t % query_frequency]
```

4.4.3 推理流程总结

数据流向

1 当前观测 → 策略预测 k 步动作 → 更新缓冲区 → 时序集成 → 执行动作

FIFO 缓冲区管理

- 多预测存储：每个时刻可能有多个来源的动作预测
- 自动更新：新预测自动添加到相应时刻
- 内存高效：固定大小的环形缓冲区

时序集成策略

- 指数衰减权重: $w_i = \exp(-m \times i)$
 - m 值越大: 更偏重新预测
 - m 值越小: 新旧预测权重更平衡
- 加权平均: 所有预测按权重融合
- 平滑执行: 避免动作突变, 提高执行稳定性

推理特点

1. 确定性执行: $z = 0$ 移除随机性, 保证可重复性
2. 实时预测: 每个时刻都生成新的 k 步预测
3. 重叠融合: 多个预测为同一时刻提供不同建议
4. 自适应调整: 新观测信息不断融入决策过程

与训练的差异

方面	训练阶段	推理阶段
网络结构	编码器 + 解码器	仅解码器
风格变量	从数据推断	固定为 0
输入信息	观测 + 真实动作 (主臂角度)	仅当前观测
输出处理	直接计算损失	时序集成后执行
计算模式	批处理训练	实时单步推理

附录一、策略 (Policy)

策略就是“智能体的行为准则”：告诉机器人/AI 系统在特定情况下应该做什么的决策函数。

1. 核心定义

- 策略 = 在给定情况下，应该采取什么行动的决策规则
- 数学表示： $\pi(a|s)$ = “在状态 s 下选择动作 a 的概率”

2. 历史发展脉络

时期	领域	策略含义	特点
1940s	博弈论	完整行动计划	静态、预设
1950s	控制论	控制法则	动态反馈、数学化
1980s	强化学习	状态 → 动作映射	概率化、可学习
2000s	机器人学习	行为决策模型	端到端、神经网络

3. 通用模式

策略的本质

1 策略 = 情境 → 行动 的映射关系

工作流程

1. 感知环境 (观察状态 s)
↓
2. 查询策略 (π 函数)
↓
3. 选择动作 (输出 a)
↓
4. 执行行动
↓
5. 观察结果 (可能更新策略)

4. 在机器人学习中的具体含义

比如在 ACT 中的策略：

$\pi_\theta(a_{t:t+k}|s_t)$ = 机器人的“决策大脑”

- 1 输入：当前看到的环境情况
- 2 输出：接下来 k 步要执行的动作序列
- 3 功能：告诉机器人“在这种情况下应该怎么做”

5. 为什么策略概念重要？

- 统一框架：为不同领域的决策问题提供通用语言
- 数学化：可以用严格数学描述和分析
- 可优化：可以通过学习算法不断改进
- 可实现：可以用程序代码具体实现
- 可评估：可以量化策略的好坏

应用广泛性

1 博弈 → 控制 → 机器学习 → 机器人 → 自动驾驶 → 推荐系统 → ...

附录二、马尔可夫 vs 非马尔可夫行为详解

2.1. 基本概念

马尔可夫性质

- 定义：未来状态只依赖于当前状态，与历史无关
- 数学表达： $P(s_{t+1}|s_t, s_{t-1}, \dots, s_0) = P(s_{t+1}|s_t)$
- 例子——下棋游戏：
 - 当前棋盘状态包含了所有决策所需信息
 - 不需要知道具体是怎么走到这个棋盘状态的
 - 下一步最优走法只看当前棋盘

非马尔可夫行为

- 定义：未来状态/动作依赖于历史信息，不仅仅是当前状态
- 数学表达： $P(s_{t+1}|s_t, s_{t-1}, \dots, s_0) \neq P(s_{t+1}|s_t)$
- 例子——股票投资：
 - 股票当前价格：100 元
 - 但投资决策还需要知道：
 - 是从 90 元涨到 100 元？（上升趋势，可能继续买入）
 - 还是从 110 元跌到 100 元？（下降趋势，可能卖出）
 - 相同的当前状态，不同的历史导致不同的决策

2.2. 机器人学习中的例子（ACT 论文）

2.2.1 马尔可夫任务示例

抓取固定物体

- 1 状态：机器人手臂位置 + 物体位置 + 夹爪状态
- 2 动作：只需根据当前状态决定下一步动作
- 3 历史：不重要，当前几何关系决定一切

为什么是马尔可夫的？

- 物体位置固定，环境静态
- 最优动作只依赖当前的空间几何关系
- 历史轨迹不影响决策

2.2.2 非马尔可夫任务示例

例子 1：人类演示中的“停顿”行为

场景：开调料杯任务



```

1 # 时间序列演示数据
2 t=10: 右手接近杯子 (正常速度)
3 t=11: 右手接近杯子 (正常速度)
4 t=12: 右手停顿 (速度=0) # 人类在思考/观察
5 t=13: 右手停顿 (速度=0) # 人类在思考/观察
6 t=14: 右手推杯子 (恢复动作)

```

马尔可夫 policy 的困惑:

- 在 $t=12$ 时刻: state = [手臂位置A, 杯子位置B]
- 在 $t=14$ 时刻: state = [手臂位置A, 杯子位置B] (相同状态!)
- 但应该采取的动作不同:
 - $t=12$: 继续停顿
 - $t=14$: 开始推杯子

非马尔可夫性:

- 相同的空间状态, 不同的时间上下文
- 需要知道"已经停顿了多久"才能决定下一步

例子 2: 渐进式调整行为

场景: 插电池任务



```

1 # 人类演示轨迹
2 阶段1: 粗略对准电池和槽口
3 阶段2: 精细调整角度 (小幅震荡)
4 阶段3: 最终插入

```

状态看起来相似, 但行为不同:

```

1 # 两个时刻的相似状态
2 时刻A: [电池位置=(10, 20), 角度=45°, 接触力=0.1N]
3 时刻B: [电池位置=(10, 20), 角度=45°, 接触力=0.1N]
4
5 # 但处于不同阶段
6 时刻A: 刚开始精调 → 应该继续小幅调整
7 时刻B: 调整了30秒 → 应该尝试插入

```

2.3. 传统单步 Policy 的问题

单步预测的局限

```

1 # 传统BC方法
2 def policy(current_state):
3     return predict_action(current_state) # 只看当前帧
4
5 # 面临的问题
6 相同的current_state → 可能需要不同的action

```

具体失败模式

- 无限停顿问题

```
1 # 在演示数据中，人类在某状态停顿了3秒
2 state_pause = [hand_pos=(5, 10), object_pos=(20, 30)]
3
4 # 单步policy学到：在这个状态 → 动作=停顿
5 # 测试时：机器人可能在这个状态无限停顿
```

- 时序混乱问题

```
1 # 演示中的正确序列
2 t1: 接近物体 (慢速)
3 t2: 接近物体 (慢速)
4 t3: 接近物体 (快速) # 人类决定加速
5 t4: 抓取物体
6
7 # 单步policy可能学到：
8 在“接近物体”状态 → 随机选择慢速/快速
9 导致运动不连贯
```

2.4. Action Chunking 如何解决

- 时间窗口建模

```
1 # 传统方法
2 action_t = policy(state_t) # 单点决策
3
4 # Action Chunking
5 action_sequence = policy(state_t) # 预测未来k步
6 # action_sequence = [a_t, a_t+1, ..., a_t+k-1]
```

- 解决停顿问题

原理：在一个 chunk 内部处理时间依赖

```
1 # Chunk包含停顿→行动的完整序列
2 chunk_example = [
3     action_t=0: “接近”,      # 开始接近
4     action_t+1: “停顿”,      # 观察思考
5     action_t+2: “停顿”,      # 继续观察
6     action_t+3: “推杯子”    # 执行动作
7 ]
8
9 # 这样policy学会了“停顿多久后该行动”
```

- 解决协调问题

原理：chunk 内部保持动作的时序一致性

```
1 # 双手协调的chunk
2 bimanual_chunk = [
3     t: [left_hand="hold_steady", right_hand="approach"],
4     t+1: [left_hand="hold_steady", right_hand="fine_adjust"],
5     t+2: [left_hand="hold_steady", right_hand="grasp"],
6     t+3: [left_hand="coordinate_pull", right_hand="coordinate_pull"]
7 ]
8
9 # 确保双手动作的时序匹配
```

2.5. 总结

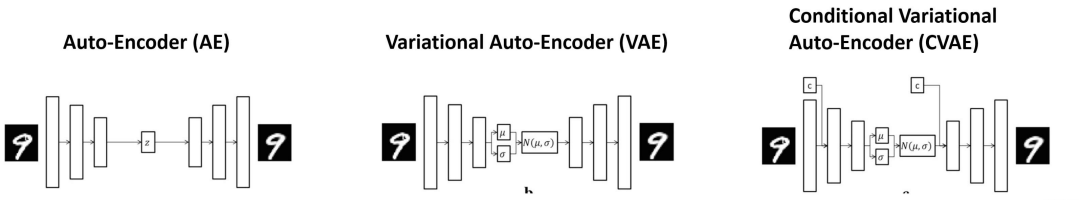
- 马尔可夫 vs 非马尔可夫对比表

特征	马尔可夫行为	非马尔可夫行为
决策依赖	仅当前状态	当前状态 + 历史
时序重要性	不重要	很重要
典型场景	静态环境抓取	人类演示、协调任务
Policy 复杂度	简单	复杂
Chunking 收益	小	大

- Action Chunking 的核心价值
 - 将非马尔可夫问题转化为马尔可夫问题
 - 在 chunk 内部处理时间依赖关系
 - 保持动作序列的时序一致性
 - 特别适合处理人类演示数据中的复杂时序模式

这就是为什么 ACT 在处理精细操作任务时，相比传统方法有如此显著的性能提升。

附录三、条件变分自编码器



3.1 AE vs VAE vs CVAE 对比

生活例子，想象你是一个画家：

- **普通自编码器 (AE) :** 就像照着原画临摹，能画出很像的作品，但不能创作新的
- **变分自编码器 (VAE) :** 不仅能临摹，还能理解绘画的"精髓"，创作出全新但合理的作品
- **条件变分自编码器 (CVAE) :** 就像一位"私人定制画家"，不仅能创作新作品，还能按客户需求画画：
 - 客户说"我要一朵玫瑰"→画出各种风格的玫瑰（写实的、印象派的、素描的...）

3.2. 标准自编码器 (AE)

目标：学会重构输入数据

1 输入图像 → [编码器] → 潜在向量 → [解码器] → 重构图像

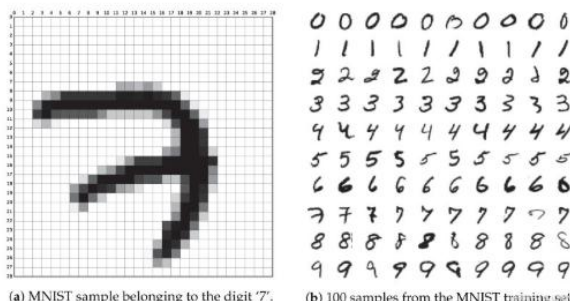
特点：

- 能很好地重构训练数据
- 无法生成新样本 - 这是关键问题！
- 原因：如果我们随机选择一个潜在向量输入解码器，很可能得到无意义的输出

如果你不了解编码器、潜在向量、解码器，请继续看：

3.2.1. [编码器] - 数据压缩过程

技术实现：通常是多层次神经网络，逐步降维



```
1 # 以MNIST为例 (28×28像素图像)
2 输入: 784维向量 (28×28展平)
3 ↓ 全连接层1: 784 → 512
4 ↓ 激活函数: ReLU
5 ↓ 全连接层2: 512 → 256
6 ↓ 激活函数: ReLU
7 ↓ 全连接层3: 256 → 64
8 输出: 64维潜在向量
```

3.2.2. 潜在向量 - 压缩表示

英文表示： Latent Vector、 Latent Space 等

本质：原始数据的低维度抽象表示

- 维度：远小于原始数据 (64 维 vs 784 维)
- 含义：包含重构原数据的关键信息
- 类比：就像用几个关键词概括一篇文章

```
1 # 具体例子
2 原图像: [0.1, 0.8, 0.3, ..., 0.9] # 784个数字
3 潜在向量: [2.1, -0.5, 1.8, 0.3] # 只有4个数字(简化例子)
```

3.2.3. 【解码器】- 数据重构过程

技术实现：编码器的“反向”过程，逐步升维

```
1 # 解码器结构
2 输入: 64维潜在向量
3 ↓ 全连接层1: 64 → 256
4 ↓ 激活函数: ReLU
5 ↓ 全连接层2: 256 → 512
6 ↓ 激活函数: ReLU
7 ↓ 全连接层3: 512 → 784
8 ↓ 激活函数: Sigmoid (输出0-1像素值)
9 输出: 784维重构图像
```

压缩迫使模型学习数据的核心特征而非死记硬背，获得去噪、泛化能力，且压缩后的潜在空间可用于生成新样本。

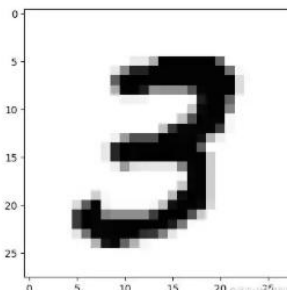
简单说：压缩=理解本质，解码=验证理解，最终目标是生成新内容。

想象你在传纸条：

- 编码器：把长句子压缩成几个关键词
- 潜在向量：这几个关键词
- 解码器：根据关键词还原出完整句子

3.2.4 具体数字示例

假设处理一个手写数字“3”：



```
1 1. 输入图像: 28×28 = 784个像素值
2   [0.0, 0.1, 0.8, 0.9, 0.7, ..., 0.0]
3
4 2. 编码器处理:
5   784 → 512 → 256 → 64
6
```

```
7 3. 潜在向量 (64维):  
8 [1.2, -0.8, 2.1, 0.5, ..., -1.1] # 这64个数字包含了"3"的核心特征  
9  
10 4. 解码器处理:  
11 64 → 256 → 512 → 784  
12  
13 5. 重构图像: 784个像素值  
14 [0.02, 0.09, 0.79, 0.91, 0.68, ..., 0.01] # 尽量接近原图
```

3.3. 变分自编码器 (VAE)

目标: 既能重构, 又能生成新样本

```
1 输入图像 → [编码器] → 分布参数( $\mu, \sigma$ ) → 采样 → [解码器] → 重构图像
```

关键改进:

- 编码器输出概率分布 (均值和方差), 而不是固定值
- 可以生成新样本 - 从标准正态分布采样点输入解码器
- 使用 KL 散度确保潜在分布接近标准正态分布

比喻: 想象 AE 是"死记硬背", VAE 是"理解规律"

3.4. 条件变分自编码器 (CVAE)

目标: 根据指定条件生成特定类型的样本

```
1 输入图像+标签 → [编码器] → 分布参数 → 采样+标签 → [解码器] → 重构图像
```

核心优势:

- 可控生成 - 想要数字"3"就能生成"3"
- 潜在空间编码风格信息 (粗细、角度等), 标签编码内容信息

CVAE 作为早期的生成建模框架, 虽然在 ACT 中表现良好, 但其生成能力相比近年来兴起的 diffusion 模型仍有显著差距。随着技术演进, 后续的视觉-语言-动作(VLA)算法开始广泛采用 diffusion 机制, 典型代表包括 Diffusion Policy 和 Pi0 等方法。